

УДК 539.375

© 1998 г. Е. В. ГЛУШКОВ, Н. В. ГЛУШКОВА, О. Н. ЛАПИНА

## **ПОКАЗАТЕЛИ СИНГУЛЯРНОСТИ УПРУГИХ НАПРЯЖЕНИЙ В ТОЧКЕ ВЫХОДА ТРЕЩИНЫ НА ПОВЕРХНОСТЬ**

Наряду с достаточно хорошо изученными к настоящему времени особенностями плоского напряженно-деформируемого состояния в угловых точках границы тел (ребра двугранных углов, фронт трещины и т.п.) в пространственном случае в вершинах многогранных углов возникают сингулярности "конического типа" [1] (или "трехмерные сингулярности"), исследование которых представляет собой существенно более сложную математическую проблему. Определение показателей особенности решения в многогранной угловой точке в зависимости от ее геометрии и свойств материала уже не сводится как в плоском случае к поиску корней некоторых трансцендентных алгебраических уравнений, а предполагает в общем случае дискретизацию либо по всему пространству, либо, после выделения фактора  $r^\gamma$  ( $r$  – расстояние до вершины,  $\gamma$  – искомый показатель особенности), по сферическим углам. В первом случае возникают системы 10–20 тысяч алгебраических уравнений (например, 11000 в работе [2]), во втором случае используются обычно от 500 и более уравнений [3, 4].

Развивается также и третий подход, состоящий в сведении задачи к граничным интегральным уравнениям (ГИУ), применении к ним преобразования Меллина по  $r$  и дискретизации преобразованных ГИУ уже только по одной угловой полярной координате, заданной на клиновидных сторонах многогранника. В отличие от первых двух подходов здесь хотя и используется достаточно сложная математическая техника, получаемые в результате системы имеют существенно меньшую размерность (5–30 уравнений), и появляется возможность получить в явном виде коэффициент интенсивности и угловые функции распределения напряжений в окрестности вершины. В рамках данного подхода уже были получены результаты для клиновидных штампов [5, 6], трещин [7] и включений [8], а также для вершины трехгранника с одной фиксированной гранью [9]. В публикуемой работе рассматривается важный частный случай сингулярности конического типа, возникающей в точке пересечения фронта трещины с поверхностью тела. Данная задача рассматривалась ранее как правило для случая фронта трещины, ортогонального к поверхности [2–4, 10, 11]; в настоящей работе получена зависимость показателя особенности от угла наклона фронта трещины к поверхности.

1. Рассматривается упругое изотропное полупространство  $-\infty \leq x, y \leq \infty, z \leq 0$  с выходящим на поверхность бесконечно тонким разрезом, занимающим в плоскости  $y = 0$  клиновидную область  $\Omega: 0 \leq r \leq \infty, -\theta \leq \varphi \leq 0$  ( $x = r \cos \varphi, z = r \sin \varphi$ ); берега разреза свободны от напряжений. Требуется определить асимптотику напряженно-деформированного состояния в окрестности вершины  $r = 0$  при заданном внешнем поле напряжений  $\tau_0$ . Суперпозиция интегральных представлений решения задач для трещины в безграничном пространстве и для полупространства с заданной поверхностной на-

груской приводит к следующей системе интегральных уравнений относительно неизвестного скачка смещений  $\mathbf{u}(x, y, z)$  на разрезе  $\mathbf{v}(x, z) = \mathbf{u}|_{y=0^-} - \mathbf{u}|_{y=0^+}$ ,  $(x, z) \in \Omega$ :

$$\iint_{\Omega} [\mathbf{k}_1(x - \xi, z - \zeta) + \mathbf{k}_2(x - \xi, z, \zeta)] \mathbf{v}(\xi, \zeta) (d\xi) d\zeta = \mathbf{f}(x, z), \quad (x, z) \in \Omega$$

$$\mathbf{k}_1 = \frac{1}{4\pi^2} \int_{-\infty}^{\infty} \int_{-\infty}^{\infty} \mathbf{K}_1(\alpha_1, \alpha_2) \exp[-i(\alpha_1(x - \xi) + \alpha_2(z - \zeta))] d\alpha_1 d\alpha_2$$

$$\mathbf{k}_2 = \frac{1}{4\pi^2} \int_{-\infty}^{\infty} \int_{-\infty}^{\infty} \mathbf{K}_2(\alpha_1, \alpha_2, z, \zeta) \exp[-i\alpha_1(x - \xi) + \alpha_2(z + \zeta)] d\alpha_1 d\alpha_2$$

$$\mathbf{K}_1 = \frac{\mu}{2(2+\beta)\alpha} \begin{vmatrix} 2(1+\beta)\alpha^2 - \beta\alpha_2^2 & 0 & \beta\alpha_1\alpha_2 \\ 0 & 2(1+\beta)\alpha^2 & 0 \\ \beta\alpha_1\alpha_2 & 0 & 2(1+\beta)\alpha^2 - \beta\alpha_1^2 \end{vmatrix}$$

$$\mathbf{K}_2 = \frac{i\mu}{2+\beta} \begin{vmatrix} (1, 1) & 0 & (1, 3) \\ 0 & (2, 2) & 0 \\ (3, 1) & 0 & (3, 3) \end{vmatrix}$$

$$(1, 1) = \frac{i}{\alpha^2} \left\{ \frac{2+\beta}{2\alpha} (\alpha_1^4 + \alpha_2^4) + \alpha_1^2 \alpha_2^2 \left[ (3+\beta)(z+\zeta) + 2(1+\beta)\alpha\zeta z + \frac{3+\beta}{1+\beta}\frac{1}{\alpha} \right] \right\}$$

$$(1, 3) = \alpha_1 \left\{ \frac{2+\beta}{2} + (1+\beta) \frac{\alpha_2^2}{\alpha} \left( z + \frac{3+\beta}{1+\beta} \zeta + 2\alpha\zeta z \right) \right\} \quad (1.1)$$

$$(3, 1) = -\alpha_1 \left\{ \frac{2+\beta}{2} + \frac{\alpha_2^2}{\alpha} [(3+\beta)z + (1+\beta)\zeta + 2(1+\beta)\alpha\zeta z] \right\}$$

$$(3, 3) = i \left\{ (1+\beta)\alpha_2^2 (z + \zeta + 2\alpha\zeta z) + \frac{1}{2\alpha} (\beta\alpha_2^2 + (2+\beta)\alpha^2) \right\}$$

$$(2, 2) = \frac{i}{\alpha} \left\{ \alpha_2^2 \alpha \left( 2\beta + (3+\beta) \frac{\alpha_2^2}{\alpha^2} \right) (z + \zeta) + 2(1+\beta)\alpha_2^4 z \zeta + \right.$$

$$\left. + \frac{1}{1+\beta} \left( 4(\beta^2 + 3\beta + 1)\alpha_2^2 - (\beta^2 + 2\beta - 1) \frac{\alpha_2^4}{\alpha^2} + 2\beta^2\alpha^2 \right) \right\}$$

$$\mathbf{f}(x, z) = -\tau_0(x, y, z)|_{y=0}$$

$$\alpha = \sqrt{\alpha_1^2 + \alpha_2^2}, \quad \beta = \lambda/\mu$$

где  $\lambda, \mu$  – константы Ляме.

Составляющая ядра  $k_1$  совпадает с ядром системы интегральных уравнений для трещины в безграничной среде [7], а часть  $k_2$  обусловлена наличием поверхности полупространства  $z = 0$ . Несмотря на появление  $k_2$ , заполненность матрицы-ядра остается прежней, т.е. система ГИУ (1.1) фактически распадается на независимые уравнения относительно нормальной и касательных компонент скачка  $\mathbf{v}$ . Уравнения (1.1) получаются из условия равенства нулю суммарного поля напряжений  $\tau = \tau_0 + \tau_1$  на берегах трещины. Дополнительное поле напряжений  $\tau_1$ , обусловленное разрывом поля смещений  $\mathbf{u}$  на разрезе  $y = 0$ ,  $(x, y) \in \Omega$ , вне его выражается через скачок  $\mathbf{v}$  с помощью интегрального оператора, совпадающего, в частности, в плоскости разреза  $y = 0$  с левой частью уравнения (1.1).

Преобразование Меллина по  $r = \sqrt{x^2 + z^2}$ :

$$M_s[f] = \int_0^\infty f(r)r^{s-1}dr = F(s), \quad M_s^{-1}[F] = \frac{1}{2\pi i} \int_{c-i\infty}^{c+i\infty} F(s)r^{-s}ds = f(r)$$

приводит интегральные уравнения (1.1) к одномерным уравнениям

$$\int_{-\theta}^0 [\mathbf{K}_1(s, \varphi - \psi) + \mathbf{K}_2(s, \varphi, \psi)] \mathbf{V}(s-1, \psi) d\psi = \mathbf{F}(s, \varphi), \quad -\theta \leq \varphi \leq 0 \quad (1.2)$$

относительно преобразования Меллина неизвестного скачка смещений  $\mathbf{V}(s-1, \psi) = M_{s-1}[\mathbf{v}]$ .

Элементы матрицы  $\mathbf{K}_1$  представимы рядами того же вида, что и в задачах о трещине в безграничной среде или о клиновидном штампе [5, 7] (подробнее описание техники вывода см. [6]), а для получения  $\mathbf{K}_2$  ключевую роль играет преобразование Меллина от интегральных операторов вида

$$I_{p_1 p_2 p} = \frac{1}{4\pi^2} \int_0^{2\pi} \int_0^{\pi} \sin^{p_1} \beta \cos^{p_2} \beta \alpha^p e^{-i\alpha_1(x-\xi)} e^{\alpha(z+\xi)} \alpha d\beta d\alpha$$

которые в силу соотношения [12]:

$$\int_0^\infty t^\mu J_\nu(at) e^{-pt} dt = \Gamma(\mu + \nu + 1) (p^2 + a^2)^{-\frac{1}{2}(\mu+1)} P_\mu^{-\nu}(p/\sqrt{p^2 + a^2})$$

также сводятся к рядам, но уже с функциями Лежандра  $P_{\mu_1}^{-m}(-\sin \varphi)$ ,  $P_{\mu_2}^{-m}(-\sin \psi)$  вместо осциллирующих экспонент  $e^{-im(\varphi - \psi)}$ .

Исходя из интегрального представления компонент тензора напряжений вне разреза через скачок  $\mathbf{v}$ , несложно убедиться, что полюса их преобразования Меллина по  $r$ , дающие искомый показатель особенности при  $r \rightarrow 0$  [6], совпадают с полюсами  $\mathbf{V}(s-1, \psi)$ , а коэффициенты интенсивности и угловое распределение напряжений определяются вычетами в этих полюсах. В частности, для напряжений  $\tau_1(r, \varphi) = (\tau_{xy}, \sigma_y, \tau_{yz})$ , возникающих в плоскости разреза  $y = 0$ , имеем

$$\begin{aligned} \tau_1(r, \varphi) &\sim \sum_{k=1}^{\infty} \mathbf{T}_k(\varphi) r^{-\gamma_k}, \quad r \rightarrow 0 \\ -\infty < \operatorname{Re} \gamma_k < \operatorname{Re} \gamma_{k-1} < \dots < \operatorname{Re} \gamma_1 &\leq 1, 5 \quad (1.3) \\ \mathbf{T}_k(\varphi) &= \int_{-\theta}^0 [\mathbf{K}_1(s_k, \varphi - \psi) + \mathbf{K}_2(s_k, \varphi, \psi)] \operatorname{res} \mathbf{V}(s-1, \psi) |_{s=s_k} d\psi \end{aligned}$$

где  $\gamma_k = s_k$  – полюса  $\mathbf{V}(s - 1, \psi)$  по параметру  $s$ .

Допустимыми с точки зрения конечности потенциальной энергии деформации для пространственных полей напряжений являются значения показателей  $\gamma$ , лежащие в полуплоскости  $\operatorname{Re}\gamma \leq 1.5$  ( $\gamma < 1.5$  при  $\operatorname{Im}\gamma = 0$ ) комплексной плоскости  $\gamma$  (для плоских задач  $\operatorname{Re}\gamma < 1$ ).

Для определения приближенных значений полюсов  $s_k$  проводится дискретизация уравнений (1.2). Используется разложение  $\mathbf{V}(s - 1, \psi)$  по ортогональным полиномам Якоби с весом, учитывающим поведение скачка на границе области  $\Omega$ :

$$\mathbf{V}(s - 1, \psi) = \sum_{k=0}^{\infty} \mathbf{c}_k p_k(\bar{\psi}), \quad p_k(\bar{\psi}) = (1 - \bar{\psi})^{\delta_1} (1 + \bar{\psi})^{\delta_2} P_k^{(\delta_1, \delta_2)}(\bar{\psi}), \quad \psi = \frac{\theta}{2}(\bar{\psi} - 1)$$

и затем невязка уравнения (1.2), являющаяся непрерывной функцией на интервале  $-\theta \leq \phi \leq 0$ , проектируется на полную на данном отрезке систему полиномов Лежандра  $P_l(\bar{\phi})$ ,  $\phi = \frac{1}{2}(\bar{\phi} - 1)$ . На нижней границе области  $\Omega$  ( $\psi = -\theta$ ,  $\bar{\psi} = -1$ , фронт трещины), поведение  $\mathbf{v}(r, \phi)$  хорошо известно, что дает  $\delta_2 = 1/2$ . На другом краю ( $\psi = 0$ ,  $\bar{\psi} = 1$ , поверхность полупространства  $z = 0$ ), относительное смещение берегов трещины может быть произвольным, что делает естественным выбор  $\delta_1 = 0$  ( $\mathbf{v}(r, \phi) \sim O(1)$  при  $\phi \rightarrow 0$ ). Однако при таком выборе  $\delta_1$  устойчивые численные результаты были получены только для касательных компонент  $\tau_{xy}, \tau_{yz}$ , в то время как для нормальной компоненты  $\sigma_y$  их удалось получить только при  $\delta_1 = 1$  (это следующее после  $\delta_1 = 0$  допустимое с точки зрения сходимости возникающих здесь рядов значение показателя  $\delta_1$ ). По-видимому, при нормальном растяжении-сжатии разреза допустимыми для возникновения сингулярности в вершине являются только такие собственные формы, при которых происходит смыкание верхних кромок берегов разреза.

Искомые полюсы  $s_k$  совпадают с нулями определителей матриц  $\mathbf{A}(s) = \|a_{lk}\|$  (для нормальной компоненты) и  $\mathbf{B}(s) = \|b_{lk}\|$  (для касательных) бесконечных алгебраических систем относительно  $\mathbf{c}_k$ , к которым в результате дискретизации сводятся уравнения (1.2). Элементы данных матриц в рассматриваемом случае имеют вид

$$a_{lk} = a_{lk}^{(1)} + a_{lk}^{(2)}$$

$$a_{lk}^{(1)} = 2(\beta + 1)I_0$$

$$a_{lk}^{(2)} = - \left\{ 2\beta(J_{20}^{(2)} + J_{20}^{(3)}) + (3 + \beta)(J_{40}^{(2)} + J_{40}^{(3)}) + 2(1 + \beta)J_{40}^{(4)} + \right. \\ \left. + \frac{1}{1 + \beta}(2\beta^2 J_{00}^{(1)} - (\beta^2 + 2\beta - 1)J_{40}^{(1)} + 4(\beta^2 + 3\beta + 1)J_{20}^{(1)}) \right\} \quad (1.4)$$

$$b_{lk} = b_{lk}^{(1)} + b_{lk}^{(2)}$$

$$b_{lk}^{(1)} = \begin{vmatrix} \left(2 + \frac{3}{2}\beta\right)I_0 + \frac{\beta}{4}I_+ & \frac{\beta}{4}I_- \\ \frac{\beta}{4}I_- & \left(2 + \frac{3}{2}\beta\right)I_0 - \frac{\beta}{4}I_+ \end{vmatrix}, \quad b_{lk}^{(2)} = \begin{vmatrix} (1, 1) (1, 2) \\ (2, 1) (2, 2) \end{vmatrix}$$

$$(1, 1) = - \left\{ \frac{2 + \beta}{2}(J_{04}^{(1)} + J_{40}^{(1)}) + (3 + \beta)(J_{22}^{(2)} + J_{22}^{(3)}) + 2(1 + \beta)J_{22}^{(4)} + \frac{3 + \beta}{1 + \beta}J_{22}^{(1)} \right\}$$

$$(1, 2) = -\left\{ \frac{2+\beta}{2} \left( J_{01}^{(1)} + (1+\beta) \left( J_{21}^{(2)} + \frac{3+\beta}{1+\beta} J_{21}^{(3)} + 2J_{21}^{(4)} \right) \right) \right\}$$

$$(2, 1) = \left\{ \frac{2+\beta}{2} \left( J_{01}^{(1)} + (1+\beta) \left( \frac{3+\beta}{1+\beta} J_{21}^{(2)} + J_{21}^{(3)} + 2J_{21}^{(4)} \right) \right) \right\}$$

$$(2, 2) = -\left\{ (1+\beta)(J_{20}^{(2)} + J_{20}^{(3)} + 2J_{20}^{(4)}) + \frac{\beta}{2} J_{20}^{(1)} + \frac{2+\beta}{2} J_{00}^{(1)} \right\}$$

$$I_0 = \sum_{m=0}^{\infty} g_m(s) \operatorname{Re} d_m \quad (1.5)$$

$$I_+ = \sum_{m=0}^{\infty} \{ g_m^+(s) \operatorname{Re} d_m^+ + sg(2) g_m^-(s) \operatorname{Re} d_m^- \}$$

$$I_- = \sum_{m=0}^{\infty} \{ g_m^+(s) \operatorname{Im} d_m^+ + sg(2) g_m^-(s) \operatorname{Im} d_m^- \}$$

$$g_m(s) = G_1(m, s)G_2(m, s), \quad g_m^{\pm}(s) = G_1(m, s)G_2(m \pm 2, s)$$

$$G_1(m, s) = \Gamma\left(\frac{s+|m|}{2}\right)/\Gamma\left(\frac{|m|-s+2}{2}\right)$$

$$G_2(m, s) = \Gamma\left(\frac{|m|-s+3}{2}\right)/\Gamma\left(\frac{|m|+s-1}{2}\right)$$

$$d_m = d1(m, k)d2(m, l), \quad d_m^{\pm} = d1(m \pm 2, k)d2(m, l)$$

$$d1(m, k) = \int_{-1}^1 (1-\bar{\Psi})^{\delta_1} (1+\bar{\Psi})^{\frac{1}{2}} P_k^{\left(\delta_1, \frac{1}{2}\right)}(\bar{\Psi}) e^{im\psi} d\bar{\Psi}, \quad d2(m, l) = \int_{-1}^1 P_l(\bar{\Phi}) e^{-ilm\Phi} d\bar{\Phi}$$

$$J_{00}^{(n)} = E_0^{(n)}, \quad J_{01}^{(n)} = E_1^{(n)}, \quad J_{20}^{(n)} = (E_0^{(n)} + E_2^{(n)})/2$$

$$J_{21}^{(n)} = (E_1^{(n)} + E_3^{(n)})/4, \quad J_{40}^{(n)} = (E_4^{(n)} + 4E_2^{(n)} + 3E_0^{(n)})/8$$

$$J_{04}^{(n)} = (E_4^{(n)} - 4E_2^{(n)} + 3E_0^{(n)})/8, \quad J_{22}^{(n)} = (E_0^{(n)} - E_4^{(n)})/8 \quad (n = 1, 2, 3, 4)$$

$$E_p^{(1)} = \sum_{m=0}^{\infty} T1_m T33_m, \quad E_p^{(2)} = \sum_{m=0}^{\infty} T2_m T33_m \quad (1.6)$$

$$E_p^{(3)} = \sum_{m=0}^{\infty} T1_m T44_m, \quad E_p^{(4)} = \sum_{m=0}^{\infty} T2_m T44_m$$

$$T33 = T3_{m+p} + sg(p)T3_{m-p}, \quad T44_m = T4_{m+p} + sg(p)T4_{m-p}$$

$$sg(p) = \begin{cases} (-1)^m, & m < p \\ 1, & m \geq p \end{cases} \quad (p = 1, 2, 3, 4)$$

Таблица

$v$	$\theta/\pi$	0.1	0.2	0.3	0.4	0.5	0.6	0.7	0.8	0.9
0	0.09	0.25	0.36	0.44	0.50	0.56	0.61	0.69	0.83	
0.1	0.08	0.22	0.34	0.43	0.49	0.55	0.61	0.69	0.84	
0.2	0.06	0.19	0.31	0.40	0.48	0.54	0.61	0.70	0.86	
0.3	0.04	0.15	0.27	0.37	0.46	0.53	0.62	0.72	0.90	
0.4	0.02	0.09	0.19	0.31	0.42	0.52	0.62	0.75	0.97	
0.5	-0.99	-0.73	-0.20	0.13	0.34	0.50	0.64	0.80	1.08	

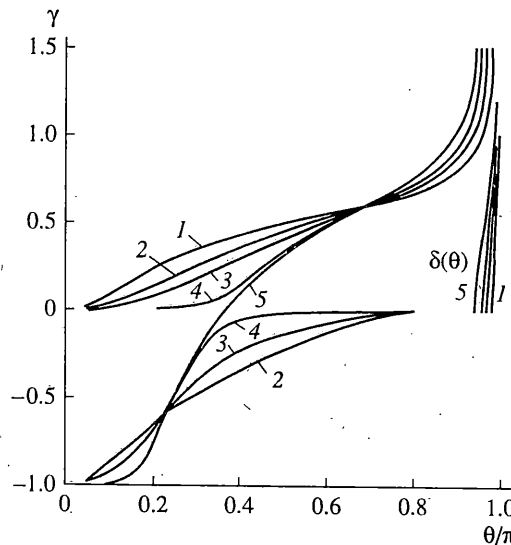
$$\begin{aligned}
 T1_m(l) &= \frac{\Gamma(s+m)}{\Gamma(1+m)} \int_{-1}^1 P_{s-1}^{-m}(-\sin\phi) P_l(\bar{\phi}) d\bar{\phi} \\
 T2_m(l) &= \frac{\Gamma(s+m+1)}{\Gamma(1+m)} \int_{-1}^1 P_s^{-m}(-\sin\phi) P_l(\bar{\phi}) \sin\phi d\bar{\phi} \\
 T3_m(k) &= \frac{\Gamma(3-s+m)}{\Gamma(1+m)} \int_{-1}^1 P_{2-s}^{-m}(-\sin\psi) p_k(\bar{\psi}) d\bar{\psi} \\
 T4_m(k) &= \frac{\Gamma(4-s+m)}{\Gamma(1+m)} \int_{-1}^1 P_{3-s}^{-m}(-\sin\psi) p_k(\bar{\psi}) \sin\psi d\bar{\psi}
 \end{aligned} \tag{1.7}$$

Штрих в  $\Sigma'$  означает, что первое слагаемое при  $m = 0$  берется с множителем  $1/2$ .

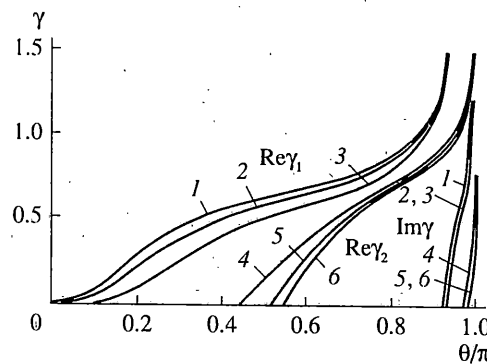
2. Основную сложность при проведении расчетов по формулам (1.4)–(1.7) представляет медленная сходимость рядов  $I_0, I_{\pm}$  и трудности, связанные с вычислением интегралов (1.6), (1.7) при больших  $m$ . Для их преодоления были использованы асимптотические разложения интегралов по  $\lambda = \frac{1}{2} m \theta \rightarrow \infty$  (вклад граничных точек осциллирующих интегралов для (1.6) и вклад граничной точки максимума для (1.7)), которые вместе с асимптотикой  $g_m \sim \frac{1}{2} m + O(m^{-1})$ ,  $m \rightarrow \infty$  позволили выделить и просуммировать медленно сходящиеся составляющие рядов в явном виде. Тем не менее при  $\theta \rightarrow 0$  параметр  $\lambda$  перестает быть большим, что ограничивает применимость метода снизу некоторой величиной угла наклона фронта трещины  $\theta_0: 0 < \theta_0 < \theta < \pi$ , зависящей только от мощности используемого компьютера (чем меньше  $\theta$ , тем длиннее приходится суммировать ряды по  $m$  до выхода на требуемую точность)<sup>1</sup>.

На фиг. 1 приведены зависимости от  $\theta$  сингулярного показателя  $\gamma_1$  и следующего несингулярного показателя  $\gamma_2$  нормальной компоненты напряжений  $\sigma_y$  для коэффициентов Пуассона  $v = 0; 0.3; 0.4; 0.49; 0.5$  (линии 1–5 соответственно), полученные при размерности системы  $N = 5$ . В отличие от клиновидной трещины или штампа, для которых сингулярные показатели лежат в полосе  $0 < \operatorname{Re}\gamma < 1$ , здесь с ростом  $\theta$  кривые  $\gamma_1(\theta)$ , оставаясь вещественными, пересекают линию  $\operatorname{Re}\gamma = 1$ . Достигнув при некотором значении угла  $\theta = \theta^*$  величины 1.5, корень  $s_1$  сливаются с другим, приходящим из верхней полуплоскости  $\operatorname{Re}\gamma > 1.5$  корнем  $s_1^*$ . При  $\theta = \theta^*$  корень  $s_1$  становится двукрат-

<sup>1</sup>Авторы признательны С.А. Назарову, указавшему на неточность полученных ранее результатов [7] при малом растворе клиновидной трещины. При достаточноном удлинении рядов кривые на правом краю фиг. 2 [7] не загибаются вверх, а идут к значению  $\gamma = 0$ , совпадая в определенном диапазоне малых углов  $\theta$  со значениями, которые даёт асимптотика работы [13].



Фиг. 1



Фиг. 2

ным, т.е. в разложении (1.3) появляется логарифмический множитель  $r^{-\gamma_1} \ln r$ . При  $\theta > \theta^*$  появляются два комплексно-сопряженных значения  $1.5 \pm i\delta$ , которым в (1.3) соответствует особенность с осцилляцией вида  $r^{-1.5} \cos(\delta \ln r + \kappa)$ . Зависимости  $\delta(\theta)$  приведены в правой части фиг. 1. Интересно отметить, что все кривые  $\gamma_1(\theta)$  для различных  $v$  пересекаются в одной точке, т.е. при  $\theta = \pi/6$  значение показателя сингулярности  $\gamma_1 = 0.59$  не зависит от упругих свойств материала.

При  $\theta = \pi/2$  полученные значения  $\gamma_1$  совпадают с известными результатами [3, 4]. При неортогональном к поверхности фронте трещины ( $\theta \neq \pi/2$ ) значения  $\gamma_1$  также совпадают со значениями  $\gamma_1 = 0.329; 0.498; 0.592$ , полученными для  $\theta/\pi = 0.37; 0.56; 0.69$ ,  $v = 0.32$  методом конечных элементов с выделением фактора  $r^{-\gamma}$  [3].

При уменьшении  $\theta$  значения  $\gamma_1$  как и в случае клиновидной трещины стремятся к нулю, причем с увеличением  $v$  кривые  $\gamma_1(\theta)$  прижимаются при  $\theta \rightarrow 0$  (как и кривые  $\gamma_2(\theta)$  при  $\theta \rightarrow \pi$ ) к линии  $\gamma = 0$  вплоть до слияния с ней при  $v = 0.5$ . При этом кривая  $\gamma_2(\theta)$  непрерывно продолжается при  $\theta > 0.366\pi$  кривой  $\gamma_1(\theta)$ , а значения вдоль  $\gamma = 0$  прекращают находиться как корни  $\det A(s)$ , т.е. при  $v = 0.5$  показатель  $\gamma \equiv 0$  по-видимому

становится устранимым. В таблице приводятся значения  $\gamma_1$  для некоторых фиксированных  $\theta$  и  $v$ , полученные с двумя верными знаками при  $N = 10$  на РС 386.

О скорости сходимости значений  $\gamma_1$  к точному можно судить по тестовым результатам для  $\theta = \pi/2$ ,  $v = 0$  (точное значение  $\gamma_1 = 0.5$ ), приведенным ниже для различных  $N$ :

$N$	5	7	10	15	20
$\gamma_1$	0.4935	0.4967	0.5021	0.4987	0.5006

Три точных знака здесь достигается при  $N > 20$ .

Для касательных компонент напряжений  $\tau_{xy}$ ,  $\tau_{yz}$  наряду с  $\gamma_1$  сингулярным показателем при  $\theta$  больших примерно  $\pi/2$  становится и  $\gamma_2$  (фиг. 2). Линии 1–3 здесь –  $\gamma_1(\theta)$ , 4–6 –  $\gamma_2(\theta)$  для  $v = 0$ ; 0.3; 0.5 соответственно. Результаты получены при  $N = 10$ ; в качестве контроля, как и для нормальной компоненты, использовались значения  $\gamma_1$  при  $\theta = \pi/2$  [3, 4].

Авторы благодарят В.А. Бабешко, В.М. Александрова, С.А. Назарова, D. Leguillon, Е.И. Шифрина за полезное обсуждение различных аспектов решения задачи.

Работа выполнена при поддержке Российского фонда фундаментальных исследований (проект 95-01-00266а) и Международного научного фонда (грант № J5P100).

#### СПИСОК ЛИТЕРАТУРЫ

1. Партон В.З., Перлин П.И. Методы математической теории упругости. М.: Наука, 1981. 688 с.
2. Becker I., Schnack E. Numerical calculation of singularities at reentrant edges and corners for three dimensional crack problems // ZAMM. 1990. Bd. 70. № 11. P. 529–530.
3. Leguillon D. Computation of 3D-singularities in elasticity // Boundary Value Problems and Integral Equations in Nonsmooth Domains / Eds. M. Costabel, et al. New-York: M. Dekker, 1995. P. 161–170.
4. Ghahremani F., Shih C.F. Corner Singularities of three-dimensional planar interface cracks // Trans. ASME. J. Appl. Mech. 1992. V. 59. № 1. P. 61–68.
5. Бабешко В.А., Глушков Е.В., Глушкова Н.В. Об особенностях в угловых точках пространственных штампов в контактных задачах // Докл. АН СССР. 1981. Т. 257. № 2. С. 289–294.
6. Бабешко В.А., Глушков Е.В., Зинченко Ж.Ф. Динамика неоднородных линейно-упругих сред. М.: Наука, 1989. 343 с.
7. Глушков Е.В., Глушкова Н.В. Об особенностях поля упругих напряжений в окрестности вершины клиновидной пространственной трещины // Изв. АН СССР. МТТ. 1992. № 4. С. 82–86.
8. Morari G.A., Popov G.Ya. Behaviour of the stresses near plane wedgeshaped defects // Fracture Mechanics: Successes and Problems: Collect. Abstracts 8th Intern. conf. Fract., Kiev, 1993. Lviv: Karpenko Phys.-Mech. Inst. 1993. P. 71.
9. Бабешко В.А., Глушков Е.В., Глушкова Н.В., Лапина О.Н. Особенность напряжений в окрестности вершины упругого трехгранника // Докл. АН СССР. 1991. Т. 318. № 15. С. 1113–1116.
10. Benthem J.P. State of stress at the vertex of a quarter-infinite crack in a half-space // Intern. J. Solids and Structures. 1977. V. 13. № 5. P. 479–492.
11. Bazant Z.P., Estenssoro L.F. Surface singularity and crack propagation // Intern. J. Solids and Structures. 1979. V. 15. № 9. P. 405–426.
12. Диткин В.А., Прудников А.П. Интегральные преобразования и операционное исчисление. М.: Наука, 1974. 542 с.
13. Мовчан Н.В., Назаров С.А. Асимптотика показателей сингулярностей для угловых в плане трещин // Вест. ЛГУ. Сер. 1. 1990. Вып. 3. С. 34–38.